



# $\pi$ FlowMR

um protótipo dataflow escalável, implementado em um cluster de FPGAs de baixo custo

---

**Silva Junior, J. T.<sup>1</sup>; Matias P.<sup>2</sup>; Ruggiero, C. A.<sup>1</sup>**

<sup>1</sup>Instituto de Física de São Carlos - Universidade de São Paulo

<sup>2</sup>Departamento de Computação - Universidade Federal de São Carlos

1. Introdução
2. Modelo a fluxo de dados
3.  $\pi$ FlowMR
4. Resultados

# Introdução

---

- Explorar recursos paralelos na arquitetura de *Von Neumann* exige muito esforço do programador;
- A computação paralela pode remover a necessidade de intervenção explícita no código do programa; [Barahona and Gurd, 1986]
- Computação dirigida por dados:
  - ▶ Instruções são executadas a partir de suas disponibilidades; [Arvind and Culler, 1986]
  - ▶ Modelo a fluxo de dados; [Sharp, 1992]
  - ▶ Máquina Dataflow de Manchester (*MDFM*). [Gurd, 1985]

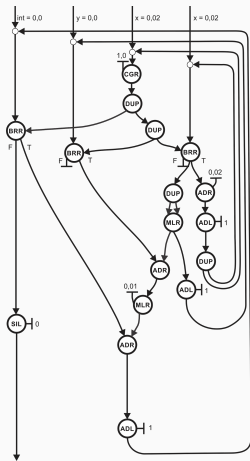
A granularidade da MDFM garante a exploração de uma quantidade significativa de paralelismo. Mas essa característica exige uma estrutura demasiada robusta. [Sargeant and Ruggiero, 1987]

- Estudo do Multitel, descentralizando a execução dos programas: [Barahona and Gurd, 1986]
  - ▶ Aumento sensível na granularidade da máquina;
  - ▶ Aumento considerável na quantidade de unidades de processamento, explorando sua capacidade de escalabilidade.

# Modelo a fluxo de dados

---

# Modelo a fluxo de dados

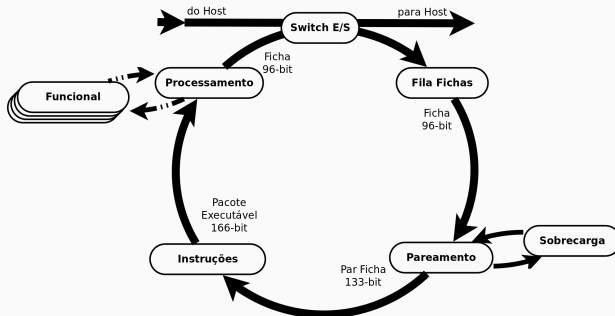


**Figura 1:** Representação gráfica da implementação de um programa que realiza a integração da função  $y = x^2$  no modelo a fluxo de dados. [Gurd, 1985]

# Máquina Dataflow de Manchester

## Composição de uma Ficha:

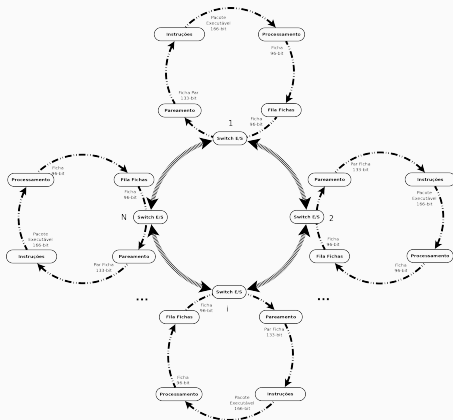
<dado (37-bits); rótulo (36-bits); destino (22-bits); marcador (1-bit)>



**Figura 2:** Visão geral da Máquina Dataflow de Manchester. Uma ficha é composta por 4 informações principais que armazenam informações diversas sobre a instrução que ela deve executar. [Gurd, 1985]

$\pi$ FlowMR

---



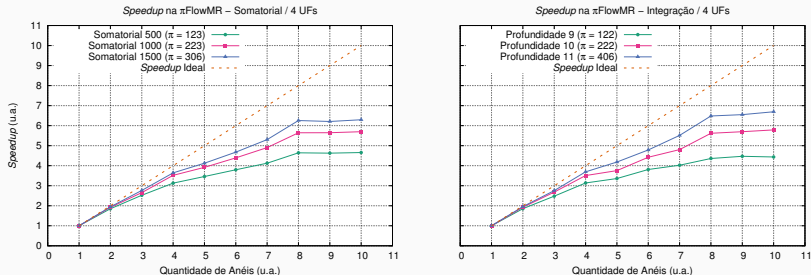
**Figura 3:** Visão geral da  $\pi$ FlowMR e a topologia proposta para as placas de FPGA utilizadas para sua composição. Note que a comunicação é realizada em um formato cíclico, bem como a estrutura de um único anel.

Para a descoberta do anel ao qual pertence uma ficha, foi utilizado apenas o rótulo dinâmico da mesma.

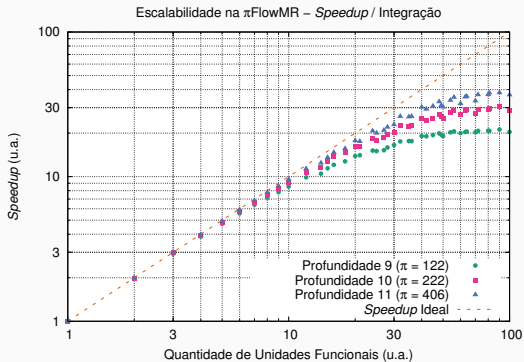
- Cada anel, passa a ser equivalente a uma Unidade Funcional da estrutura;
- Essa característica é suficiente para aumentar sensivelmente a granularidade da arquitetura; [Magna, 1997]
- Apesar disso, cada anel mantém a granularidade da MDFM;

# Resultados

---



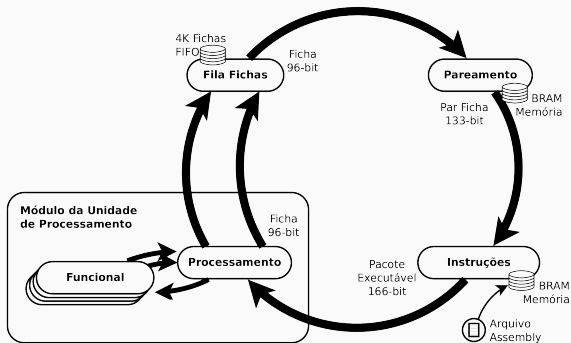
**Figura 4:** Resultados obtidos nas últimas versões do desenvolvimento, com maior largura de banda nos módulos de comunicação entre os anéis da estrutura da máquina.



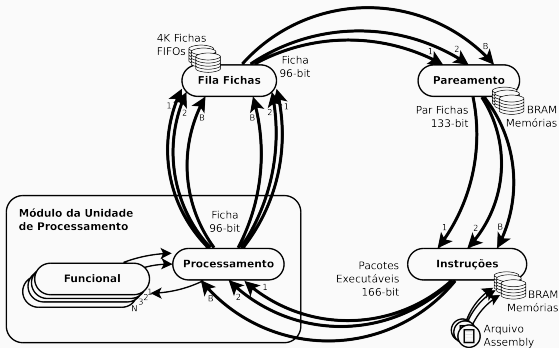
**Figura 5:** Na implementação mais recente podemos verificar que o desempenho está muito próximo daquele esperado para uma arquitetura paralela, considerando as limitações impostas pelo algoritmo do programa e gargalos da arquitetura.

**Obrigado!**  
**Perguntas?**



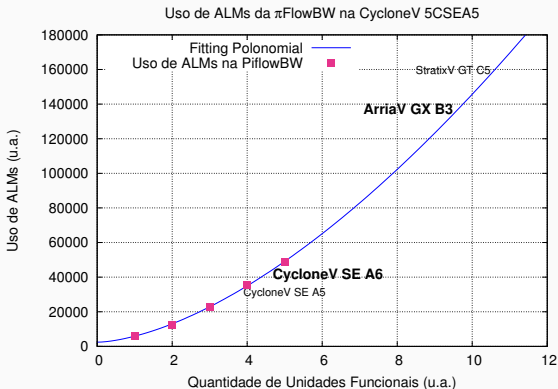


**Figura 6:** Visão geral da primeira versão da  $\pi$ Flow. Note a semelhança com a estrutura da MDFM, a menos da dupla ligação entre a PU e a TQ, além de alguns artifícios característicos do Bluespec destacados.



**Figura 7:** Visão geral da  $\pi$ FlowBW, introduzindo o conceito de dutos de larga de banda ao projeto. Nesta versão, o *throughput* da máquina é proporcional a um valor constante.

# Síntese da solução



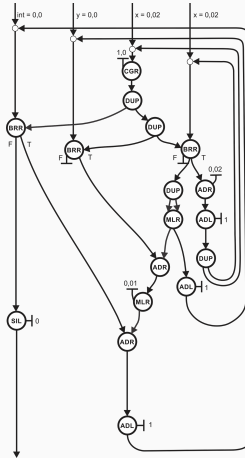
**Figura 8:** Apesar dos resultados terem sido obtidos em simulação, fizemos a análise da porcentagem de utilização dos recursos das FPGAs como função da quantidade de Unidades Funcionais na estrutura do anel.

# Modelo a fluxo de dados

```
1 export Integrate
2 function Integrate (returns real)
3 for initial
4   int := 0.0;
5   y   := 0.0;
6   x   := 0.02;
7 while
8   x < 1.0
9 repeat
10  int := 0.01 * (old y + y);
11  y   := old x * old x;
12  x   := old x + 0.02
13 returns
14   value of sum int
15 end for
16 end function
```

**Figura 9:** Programa escrito na linguagem SISAL, implementa o cálculo da integração da curva  $y = x^2$ , nos limites de 0.0 à 1.0. [Gurd, 1985]

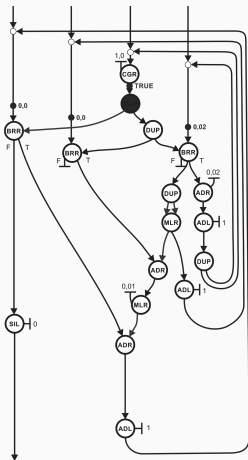
# Modelo a fluxo de dados



**Figura 9:** Representação gráfica de um programa implementado para realizar a integração da função  $y = x^2$  entre os limites de 0 à 1 no modelo a fluxo de dados. [Gurd, 1985]



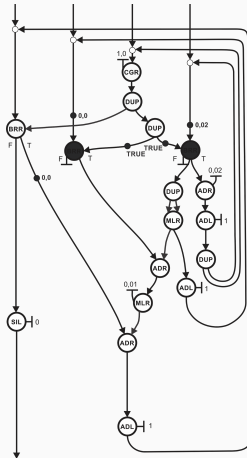
# Modelo a fluxo de dados



**Figura 9:** Exemplo de execução na representação gráfica do programa de integração no modelo a fluxo de dados, para o cálculo da integral da função  $y = x^2$ , entre os limites de 0 à 1. [Gurd, 1985]

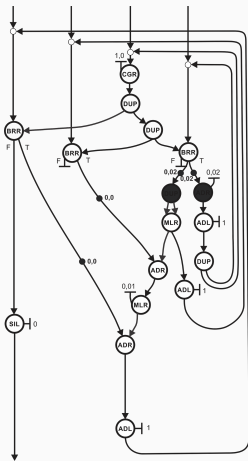


# Modelo a fluxo de dados



**Figura 9:** Exemplo de execução na representação gráfica do programa de integração no modelo a fluxo de dados, para o cálculo da integral da função  $y = x^2$ , entre os limites de 0 à 1. [Gurd, 1985]

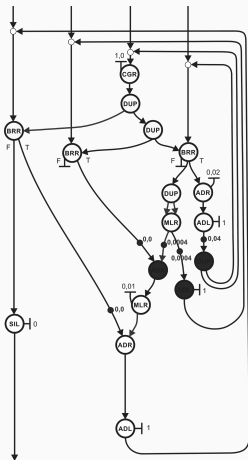
# Modelo a fluxo de dados



**Figura 9:** Exemplo de execução na representação gráfica do programa de integração no modelo a fluxo de dados, para o cálculo da integral da função  $y = x^2$ , entre os limites de 0 à 1. [Gurd, 1985]

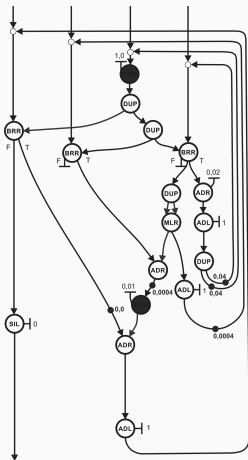


# Modelo a fluxo de dados



**Figura 9:** Exemplo de execução na representação gráfica do programa de integração no modelo a fluxo de dados, para o cálculo da integral da função  $y = x^2$ , entre os limites de 0 à 1. [Gurd, 1985]

# Modelo a fluxo de dados



**Figura 9:** Exemplo de execução na representação gráfica do programa de integração no modelo a fluxo de dados, para o cálculo da integral da função  $y = x^2$ , entre os limites de 0 à 1. [Gurd, 1985]

# Métricas para avaliação de desempenho

- **Speedup**: Desempenho da máquina utilizando uma única unidade funcional, com relação ao desempenho utilizando  $N$  unidades funcionais.

$$S_N = T_1/T_N \quad (1)$$

- **Paralelismo médio**: Quantidade de nós do grafo em fluxo de dados, com relação ao caminho crítico do grafo.

$$\pi_{av} = S_1/S_\infty \quad (2)$$

# Programas de validação

Para validação da estrutura foram utilizados dois programas implementados de forma duplamente recursiva, gerados pelo compilador da MDFM.

```
1 export Main
2 function Fact (x, y : integer returns integer)
3   if x <= y then y
4   else Fact(x, (x+y)/2+1) + Fact((x+y)/2, y)
5   end if
6 end function
7
8 function Main (returns integer)
9   Fact(5, 1)
10 end function
```

```
1 export Main
2 function F (x : integer returns integer)
3   x*x-6*x-10
4 end function
5
6 function Area (l, r, depth : integer returns integer)
7   let
8     mid := (l+r)/2;
9   in
10    if depth <= 1 then
11      (r-l)*F(mid)
12    else
13      Area(l, mid, depth-1) + Area(mid, r, depth-1)
14    end if
15  end let
16 end function
```

**Figura 10:** À esquerda a implementação do programa para o cálculo do fatorial de um valor definido na função principal. À direita a implementação do programa para o cálculo da integral da função  $f(x) = x^2 - 6x - 10$ .

# Referências

- Arvind and David E. Culler. Annual review of computer science vol. 1, 1986. chapter Dataflow Architectures, pages 225–253. Annual Reviews Inc., Palo Alto, CA, USA, 1986. ISBN 0-8243-3201-6. URL <http://dl.acm.org/citation.cfm?id=17814.17824>.
- P. M. C. C. Barahona and J. R. Gurd. Processor allocation in a multi-ring dataflow machine. *Journal of Parallel and Distributed Computing*, 3: 305–327, 1986.
- J. R. Gurd. The manchester dataflow machine. *Computer Physics Communications*, 37(1):49–62, 1985.
- P. Magna. *Proposta e Simulação de uma Arquitetura a Fluxo de Dados de Segunda Geração*. PhD thesis, Instituto de Física de São Carlos, Universidade de São Paulo, São Carlos, 1997.
- J. Sargeant and C. A. Ruggiero. Control of parallelism in the manchester dataflow machine. *Lecture Notes in Computer Science*, 274:1–15, 1987.
- J. A. Sharp. *Dataflow computing*. Ablex Publishing Company, New York, 1992.